

Warszawa, dn. 2024-03-10

T-Mobile Polska S.A.
ul. Marynarska 12
02-674 Warszawa

Pełnomocnik: [REDACTED]
Pełnomocnictwo numer: 159/01/21

z dnia: 2021-01-13

dane do korespondencji:

NetWorks Sp. z o.o.
ul. Józefa Piusa Dziekońskiego 3
00-728 Warszawa
tel. 506401236

Prezydent Miasta Białystok
Urząd Miejski w Białymstoku
ul. Słonimska 1
15-950 Białystok

Dotyczy: ustawowego obowiązku, wynikającego z art. 152 ust. 1 i ust. 7 w związku z ust. 6 pkt 1c ustawy z dnia 27 kwietnia 2001r – Prawo ochrony środowiska (Dz.U. 2024 poz. 54).

Działając z upoważnienia T-Mobile Polska S.A. z siedzibą ul. Marynarska 12, 02-674 Warszawa, **informuję o zmianie danych w zakresie wielkości i rodzaju emisji** dla instalacji radiokomunikacyjnej **24005 (96006N!) WBI_BIALYSTOK_OCTOWA1** zlokalizowanej w miejscowości BIAŁYSTOK, ul. OCTOWA 1 DZ 4/3. W stosunku do informacji zawartej w zgłoszeniu realizowanym dla tej instalacji w trybie art. 152 ust. 1 i 5 ustawy z dnia 27 kwietnia 2001r – Prawo ochrony środowiska (Dz.U. 2024 poz. 54), dane ulegają zmianie w następujący sposób:

9. Wielkość i rodzaj emisji²⁾:

Pole elektromagnetyczne. EIRP poszczególnych anten zostało podane w pkt 12, tj.

Lp.	Równoważna moc promieniowana izotropowo (EIRP) [W]
1.	5653
2.	8491
3.	45293
4.	5653
5.	8491
6.	45293
7.	5653
8.	8491
9.	45293
10.	13
11.	11/4
12.	4

12. Szczegółowe dane, odpowiednio do rodzaju instalacji, zgodnie z wymaganiami określonymi w załączniku nr 2 do Rozporządzenia:

Lp.	1)	2)	3)	4)	5)	
	Współrzędne geograficzne	Częstotliwość lub zakresy częstotliwości pracy instalacji [MHz]	Wysokość środka elektrycznego anteny [m n.p.t]	Równoważna moc promieniowana izotropowo (EIRP) [W]	Azymut [°]	Kąt pochylenia lub zakresy kątów pochylenia [°]
1.	23°7'15.5" 53°7'12"	900/2600	28.1	5653	3	-1-11/-3-9
2.	23°7'15.8" 53°7'12"	800/1800/2100	28.1	8491	3	-1-11/3.5/3.5
3.	23°7'15.5" 53°7'12"	3600	28.1	45293	3	-2-10
4.	23°7'15.9" 53°7'11.7"	900/2600	28.1	5653	110	-1-11/-3-9
5.	23°7'15.7" 53°7'11.7"	800/1800/2100	28.1	8491	110	-1-11/3.5/3.5
6.	23°7'15.9" 53°7'11.8"	3600	28.1	45293	110	-2-10
7.	23°7'15.5" 53°7'11.7"	900/2600	28.1	5653	250	-3-9/-3-9
8.	23°7'15.3" 53°7'11.8"	800/1800/2100	28.1	8491	250	-1-11/3.5/3.5
9.	23°7'15.5" 53°7'11.7"	3600	28.1	45293	250	-2-10
10.	23°7'15.7" 53°7'12"	38000	135.2	13	83*	nd.
11.	23°7'15.9" 53°7'11.7"	38000/38000	135.2	11/4	153*	nd.
12.	23°7'15.4" 53°7'11.9"	38000	135.2	4	304*	nd.

*) tolerancja azymutu od -10° do +10°.

Informuję, iż dokonane zmiany w zakresie wielkości i rodzaju emisji przedmiotowej instalacji nie powodują zmiany instalacji w sposób istotny zgodnie z art. 3 pkt 7 ustawy Poś.

W załączniku przesyłam:

1. Pełnomocnictwo
2. Kopia potwierdzenia wniesienia opłaty skarbowej.

Otrzymują:

1. a/a
2. adresat





NetWorks Sp. z o.o.
Laboratorium Badań Środowiskowych
ul. Józefa Piusa Dziekońskiego 3
00-728 Warszawa
e-mail: Laboratorium@networks.pl



AB 419

S P R A W O Z D A N I E 6617/2023/OS
Z POMIARÓW PÓL ELEKTROMAGNETYCZNYCH
WYKONANYCH DLA POTRZEB OCHRONY ŚRODOWISKA

Badany obiekt: Instalacja radiokomunikacyjna T-Mobile Polska S.A.
Numer i nazwa: 24005 (96006N!) WBI_BIALYSTOK_OCTOWA1
Adres: BIAŁYSTOK, OCTOWA 1, Powiat m. Białystok, WOJ. PODLASKIE

Data wykonania pomiarów: 2024-03-15

Sprawozdanie z badań bez pisemnej zgody laboratorium nie może być powielane inaczej niż w całości.
Wynik przedstawione w niniejszym sprawozdaniu odnoszą się wyłącznie do badanego obiektu i do warunków i konfiguracji urządzeń w dniu wykonywania pomiarów.

1. Właściciel badanego obiektu:

T-Mobile Polska S.A., ul. Marynarska 12, 02-674 Warszawa

2. Zleceniodawca:

T-Mobile Polska S.A., ul. Marynarska 12, 02-674 Warszawa

3. Przedstawiciel zleceniodawcy:

NetWorks Sp. z o.o.

4. Zakres zlecenia:

Wykonanie badania i opracowanie sprawozdania z pomiarów natężenia pola elektrycznego i pola magnetycznego dla instalacji radiokomunikacyjnej T-Mobile Polska S.A. zlokalizowanej w miejscowości BIAŁYSTOK, OCTOWA 1.

5. Cel zlecenia:

Wykonanie pomiarów pól elektromagnetycznych w otoczeniu instalacji radiokomunikacyjnej 24005 (96006N!) WBI_BIALYSTOK_OCTOWA1 w odniesieniu do wymagań określonych w *Rozporządzeniu Ministra Klimatu z dnia 17 lutego 2020 r. w sprawie sposobów sprawdzania dotrzymania dopuszczalnych poziomów pól elektromagnetycznych w środowisku (Dz.U. 2022 poz. 2630)*.

6. Pomiary zostały wykonane przez:



7. Informacje o źródłach pól elektromagnetycznych

7.1. Sposób identyfikacji badanych źródeł pól elektromagnetycznych

Identyfikacji źródeł i parametrów technicznych dokonano na podstawie analizy dokumentacji dotyczącej zlecenia oraz obserwacji miejsca wykonywania badań.

7.2. Opis miejsca zainstalowania anten i urządzeń technicznych. Opis obiektu badań i jego otoczenia

Instalacja radiokomunikacyjna zlokalizowana jest na terenie nieogrodzonym. Anteny zawieszono na wieży ciśnień. Urządzenia sterujące oraz zasilające zainstalowano w kontenerze u podstawy wieży. Wokół instalacji hale magazynowe, tereny przemysłowe.

Instalacja radiokomunikacyjna jest obiektem bezobsługowym. Okresowe stanowiska pracy związane są z prowadzonymi w zależności od potrzeb konserwacjami, przeglądami, strojeniem i naprawami.

7.3. Parametry techniczne źródła pola elektromagnetycznego

Dane przedstawiające maksymalne parametry pracy instalacji przekazane przez zleceniodawcę:

Parametry systemu nadawczo-odbiorczego:

Charakterystyka promieniowania		kierunkowa					
Rzeczywisty czas pracy [h/dobę]		24					
Warunki pracy		znamionowe					
Rodzaj wytwarzanego pola		stacjonarne					
Lp.	Częstotliwość lub zakresy częstotliwości pracy [MHz]	Typ/producent anteny	liczba anten	Azymut [°]	kąt pochyleńia [°]	Wysokość środka elektrycznego anteny [m n.p.t.]	Równoważna moc promieniowana izotropowo (EIRP) [W]
1	900/2600	ATR4518R13v06 Huawei	1	3	-1-11**/-3-9**	28.1	5653
2	800/1800/2100	ATR4518R13v06 Huawei	1	3	-1-11**/3.5*/3.5*	28.1	8491
3	3600	AQQQ NSN	1	3	-2-10**	28,1	45293
4	900/2600	ATR4518R13v06 Huawei	1	110	-1-11**/-3-9**	28.1	5653
5	800/1800/2100	ATR4518R13v06 Huawei	1	110	-1-11**/3.5*/3.5*	28.1	8491
6	3600	AQQQ NSN	1	110	-2-10**	28.1	45293
7	900/2600	ATR4518R13v06 Huawei	1	250	-3-9**/-3-9**	28.1	5653
8	800/1800/2100	ATR4518R13v06 Huawei	1	250	-1-11**/3.5*/3.5*	28.1	8491
9	3600	AQQQ NSN	1	250	-2-10**	28.1	45293

* wskazane wartości kąta pochyleńia anten, zgodnie z informacją uzyskaną od zleceniodawcy, są wartościami stałymi

** pomiary wykonano zgodnie z pkt 13., ppkt 2 załącznika do Rozporządzenia Ministra Klimatu z dnia 17 lutego 2020 r. (Dz. U. 2022, poz. 2630).

Parametry radiolinii:

Charakterystyka promieniowania		kierunkowa					
Rzeczywisty czas pracy [h/dobę]		24					
Warunki pracy		znamionowe					
Rodzaj wytwarzanego pola		stacjonarne					
Lp.	Linia radiowa			Antena			
	Typ/ Producent	Częstotliwość pracy [GHz]	Równoważna moc promieniowana izotropowo (EIRP) [W]	Typ/ producent	Średnica anteny [m]	Azymut [°]	Wysokość zainstalowania n.p.t [m]
1.	NEC iPasolink 100E Harris Stratex	38	12	VHLP1-38 Andrew	0.3	26	28
2.	ERICSSON CN510 6363 Harris Stratex	38	13	ANT3_0.3 38 HP/HPX Ericsson	0.3	83	28
3.	Ericsson CN510 RAU2X<w:br/>Ericsson CN510 RAU2X Harris Stratex	38/38	11/4	ANT2_0.3 38 HP Ericsson	0.3	153	29
4.	NEC iPasolink 100E Harris Stratex	38	4	VHLP1-38 Andrew	0.3	304	28.5

Sprawozdanie z badań bez pisemnej zgody laboratorium nie może być powielane inaczej niż w całości.
 Wynik przedstawione w niniejszym sprawozdaniu odnoszą się wyłącznie do badanego obiektu i do warunków i konfiguracji urządzeń w dniu wykonywania pomiarów.

7.4 Inne źródła pól elektromagnetycznych

Na podstawie informacji otrzymanych od użytkownika oraz obserwacji otoczenia miejsca wykonywania pomiarów nie stwierdzono występowania innych źródeł pola-EM

8. Opis pomiarów

8.1. Metoda badań

Zgodna z rozporządzeniem Ministra Klimatu z dnia 17 lutego 2020 r. w sprawie sposobów sprawdzania dotrzymania dopuszczalnych poziomów pól elektromagnetycznych w środowisku (Dz.U. 2022 poz. 2630), określona w pkt 25 ppkt 1 załącznika do niniejszego rozporządzenia.

8.2. Termin pomiarów i warunki środowiskowe

Podczas wykonywania pomiarów pól elektromagnetycznych nie występowały opady atmosferyczne. Wyniki pomiaru parametrów pogodowych przedstawia poniższa tabela:

Data [rrrr-mm-dd]	Godzina [hh:mm-hh:mm]	Warunki środowiskowe			
		Temperatura [°C]		Wilgotność względna [%]	
2024-03-15	08:15-10:15	Przed pomiarem	Po pomiarach	Przed pomiarem	Po pomiarach
		4.2	6.6	68.9	65.7

Przedstawione wyżej warunki środowiskowe, występujące podczas wykonywania pomiarów pól elektromagnetycznych, są zgodne ze specyfikacją techniczną użytego zestawu pomiarowego.

8.3. Warunki pracy urządzeń nadawczych

Podczas pomiarów w przypadku uzyskania wyniku pomiaru szerokopasmowego wykonanego zastosowaną metodą, dla zakresów częstotliwości od 10 MHz do 300 GHz, powiększonego o rozszerzoną niepewność pomiaru U dla współczynnika rozszerzenia $k = 2$ przekraczającego 70% najniższej dopuszczalnej wartości składowej elektrycznej lub magnetycznej pola dla objętych pomiarami zakresów częstotliwości, uwzględnia się poprawki pomiarowe przekazane przez zleceniodawcę, umożliwiające uwzględnienie maksymalnych parametrów pracy instalacji zgodnie z pkt 7 załącznika do Rozporządzeniem Ministra Klimatu z dnia 17 lutego 2020 r. w sprawie sposobów sprawdzania dotrzymania dopuszczalnych poziomów pól elektromagnetycznych w środowisku (Dz. U. 2022, poz. 2630) zaznaczając, że wymagane jest wykonanie pomiaru z wykorzystaniem miernika selektywnego. W przypadku uzyskania wyniku pomiaru szerokopasmowego wykonanego zastosowaną metodą, dla zakresów częstotliwości od 10 MHz do 300 GHz, powiększonego o rozszerzoną niepewność pomiaru U dla współczynnika rozszerzenia $k = 2$ nieprzekraczającego 70% najniższej dopuszczalnej wartości składowej elektrycznej lub magnetycznej pola dla objętych pomiarami zakresów częstotliwości, nie uwzględnia się poprawek pomiarowych.

8.4. Wyposażenie pomiarowe

Zestaw pomiarowy służący do pomiaru natężenia składowej elektrycznej pola elektromagnetycznego złożony z szerokopasmowego miernika i sondy pomiarowej:

Oznaczenie miernika	Producent	Model	Numer fabryczny	Oznaczenie sondy	Producent	Model	Numer fabryczny
M-20	Narda Safety Test Solution	Miernik pól elektromagnetycznych NBM-550	H-0347	S-21	Narda Safety Test Solution	Sonda pomiarowa Narda EF6092	C-0114

Mierniki natężenia pola elektromagnetycznego podlegają okresowemu sprawdzeniu zgodnie z procedurą wewnętrzną P-03 i PB-01. Świadectwo wzorcowania zestawu pomiarowego z dnia 31 marca 2023 o numerze LWiMP/W/136/23 wydane przez Politechnikę Wrocławską.

Data ważności świadectwa wzorcowania: 31 marca 2025 (zgodnie z procedurą wewnętrzną P-03).

Termohigrometr:

Oznaczenie:	TH-19	Producent:	AZ INSTRUMENT CORP	Model:	Termohigrometr AZ8706
-------------	-------	------------	--------------------	--------	-----------------------

Data ważności świadectwa wzorcowania: 19 maja 2024 (zgodnie z procedurą wewnętrzną P-03).

Sprawozdanie z badań bez pisemnej zgody laboratorium nie może być powielane inaczej niż w całości.
Wynik przedstawione w niniejszym sprawozdaniu odnoszą się wyłącznie do badanego obiektu i do warunków i konfiguracji urządzeń w dniu wykonywania pomiarów.

Dalmierz:

Oznaczenie	Producent	Typ	Numer seryjny	Nr świadectwa wzorcowania	Data świadectwa wzorcowania
D-02	Leica	Dalmierz Leica Disto X310	842350466	1146.6-M11-4180-396/15	8 kwietnia 2015

Data ważności świadectwa wzorcowania: 8 kwietnia 2025 (zgodnie z procedurą wewnętrzną P-03).

Odbiornik GNSS:

Oznaczenie	Producent	Model	Numer fabryczny
G-04	Stonex	S7-G GIS	S7G4083040010

Odbiorniki podlegają okresowemu sprawdzeniu zgodnie z procedurą wewnętrzną P-03.

9. Wyniki pomiarów

Pole elektryczne

Nr pionu	Opis umiejscowienia pionu (punktu) pomiarowego	Wysokość pomiaru [m]	Zmierzona wartość natężenia pola elektrycznego E [V/m] ^{1,5}	Wartość natężenia pola elektrycznego powiększona o niepewność pomiaru ⁴ E [V/m]	Wskaźnikowa wartość poziomu emisji pól elektromagnetycznych WMe ²	Współrzędne geograficzne pionu (punktu) pomiarowego ²
1	DPP, parterowy budynek przemysłowy, płaszczyzna okna, ul. Octowa 1	2.0	1.6	2.4	0.09	53°7'11.6" 23°7'16.0"
2	DPP, parterowy budynek przemysłowy, płaszczyzna okna, ul. Octowa 1	2.0	2.6	3.9	0.14	53°7'12.7" 23°7'16.3"
3	DPP, parterowy budynek przemysłowy, płaszczyzna okna, ul. Octowa 1	2.0	2.5	3.8	0.13	53°7'13.1" 23°7'15.2"
4	PKP w wejściu do parterowego budynku magazynowego	2.0	1.7	2.6	0.09	53°7'12.7" 23°7'15.2"
5	PKP w narożniku parterowego budynku magazynowego (brak okien od strony anten)	2.0	1.8	2.7	0.1	53°7'10.9" 23°7'17.0"
6	DPP, parterowy budynek przemysłowy, płaszczyzna okna, ul. Octowa 1	2.0	1.4	2.1	0.08	53°7'11.3" 23°7'17.4"
7	DPP, parterowy budynek przemysłowy, płaszczyzna okna, ul. Octowa 1	2.0	1.5	2.3	0.08	53°7'10.6" 23°7'19.2"
8	DPP, parterowy budynek przemysłowy, płaszczyzna okna, ul. Octowa 1	2.0	2.2	3.3	0.12	53°7'11.3" 23°7'18.8"
9	PKP w narożniku hali produkcyjnej (brak dostępnych okien od strony anten)	2.0	1.6	2.4	0.09	53°7'12.7" 23°7'14.2"

Sprawozdanie z badań bez pisemnej zgody laboratorium nie może być powielane inaczej niż w całości.
 Wynik przedstawione w niniejszym sprawozdaniu odnoszą się wyłącznie do badanego obiektu i do warunków i konfiguracji urządzeń w dniu wykonywania pomiarów.

10	DPP, parterowy budynek biurowy, płaszczyzna okna, ul. Octowa 3	2.0	1.7	2.6	0.09	53°7'12.7" 23°7'13.8"
11	GKP w odległości 8m od anteny sektorowej az. 3°	2.0	1.3	2	0.07	53°7'12.4" 23°7'16.0"
12	GKP w odległości 35m od anteny sektorowej az. 3°	2.0	2.1	3.2	0.11	53°7'13.1" 23°7'15.6"
13	GKP w odległości 71m od anteny sektorowej az. 3°	2.0	2.2	3.3	0.12	53°7'14.2" 23°7'16.0"
14	GKP w odległości 101m od anteny sektorowej az. 3°	2.0	2.0	3	0.11	53°7'15.2" 23°7'15.6"
15	GKP w odległości 10m od anteny radioliniowej az. 83°	2.0	1.4	2.1	0.08	53°7'12.0" 23°7'16.3"
16	GKP w odległości 42m od anteny radioliniowej az. 83°	2.0	1.7	2.6	0.09	53°7'12.0" 23°7'17.8"
17	GKP w odległości 14m od anteny sektorowej az. 110°	2.0	1.7	2.6	0.09	53°7'11.6" 23°7'16.7"
18	GKP w odległości 54m od anteny sektorowej az. 110°	0.3-2.0	<1.0*	1.5	0.05	53°7'10.9" 23°7'18.5"
19	GKP w odległości 80m od anteny sektorowej az. 110°	2.0	1.6	2.4	0.09	53°7'10.9" 23°7'19.9"
20	GKP w odległości 13m od anteny radioliniowej az. 136°	2.0	1.4	2.1	0.08	53°7'11.3" 23°7'15.3"
21	GKP w odległości 45m od anteny radioliniowej az. 136°	2.0	1.9	2.9	0.1	53°7'10.6" 23°7'17.4"
22	GKP w odległości 41m od anteny radioliniowej az. 153°	2.0	1.6	2.4	0.09	53°7'10.6" 23°7'16.7"
23	GKP w odległości 7m od anteny sektorowej az. 250°	2.0	1.6	2.4	0.09	53°7'11.6" 23°7'15.2"
24	GKP w odległości 54m od anteny sektorowej az. 250°	2.0	1.4	2.1	0.08	53°7'11.3" 23°7'12.7"
25	GKP w odległości 74m od anteny sektorowej az. 250°	2.0	2.2	3.3	0.12	53°7'10.9" 23°7'11.6"
26	GKP w odległości 98m od anteny sektorowej az. 250°	2.0	2.0	3	0.11	53°7'10.6" 23°7'10.2"
27	GKP w odległości 17m od anteny radioliniowej az. 304°	2.0	1.6	2.4	0.09	53°7'12.4" 23°7'14.5"
28	GKP w odległości 61m od anteny radioliniowej az. 304°	0.3-2.0	<1.0*	1.5	0.05	53°7'13.1" 23°7'12.7"
29	PKP na az. 328° w odległości 44m od anteny sektorowej az. 3°	2.0	1.8	2.7	0.1	53°7'13.1" 23°7'14.2"
30	PKP na az. 343° w odległości 37m od anteny sektorowej az. 3°	2.0	1.4	2.1	0.08	53°7'13.1" 23°7'14.9"
31	PKP na az. 356° w odległości 54m od anteny sektorowej az. 3°	2.0	2.0	3	0.11	53°7'13.8" 23°7'15.2"

Sprawozdanie z badań bez pisemnej zgody laboratorium nie może być powielane inaczej niż w całości.
 Wynik przedstawione w niniejszym sprawozdaniu odnoszą się wyłącznie do badanego obiektu i do warunków i konfiguracji urządzeń w dniu wykonywania pomiarów.

32	PKP na az. 10° w odległości 54m od anteny sektorowej az. 3°	2.0	1.9	2.9	0.1	53°7'13.8" 23°7'16.0"
33	PKP na az. 23° w odległości 45m od anteny sektorowej az. 3°	2.0	1.7	2.6	0.09	53°7'13.4" 23°7'16.3"
34	PKP na az. 38° w odległości 42m od anteny sektorowej az. 3°	2.0	1.5	2.3	0.08	53°7'13.1" 23°7'17.0"
35	PKP na az. 75° w odległości 32m od anteny sektorowej az. 110°	2.0	1.6	2.4	0.09	53°7'12.0" 23°7'17.4"
36	PKP na az. 90° w odległości 41m od anteny sektorowej az. 110°	2.0	1.8	2.7	0.1	53°7'11.6" 23°7'18.1"
37	PKP na az. 103° w odległości 45m od anteny sektorowej az. 110°	2.0	1.7	2.6	0.09	53°7'11.3" 23°7'18.1"
38	PKP na az. 117° w odległości 59m od anteny sektorowej az. 110°	2.0	1.8	2.7	0.1	53°7'10.9" 23°7'18.8"
39	PKP na az. 130° w odległości 62m od anteny sektorowej az. 110°	2.0	1.4	2.1	0.08	53°7'10.6" 23°7'18.5"
40	PKP na az. 145° w odległości 33m od anteny sektorowej az. 110°	2.0	1.9	2.9	0.1	53°7'10.9" 23°7'17.0"
41	PKP na az. 215° w odległości 9m od anteny sektorowej az. 250°	2.0	1.5	2.3	0.08	53°7'11.3" 23°7'15.2"
42	PKP na az. 215° w odległości 64m od anteny sektorowej az. 250°	2.0	1.7	2.6	0.09	53°7'9.8" 23°7'13.4"
43	PKP na az. 230° w odległości 60m od anteny sektorowej az. 250°	2.0	1.9	2.9	0.1	53°7'10.6" 23°7'13.1"
44	PKP na az. 243° w odległości 60m od anteny sektorowej az. 250°	2.0	2.0	3	0.11	53°7'10.9" 23°7'12.7"
45	PKP na az. 257° w odległości 69m od anteny sektorowej az. 250°	2.0	2.1	3.2	0.11	53°7'11.3" 23°7'12.0"
46	PKP na az. 270° w odległości 68m od anteny sektorowej az. 250°	2.0	1.7	2.6	0.09	53°7'11.6" 23°7'11.6"
47	PKP na az. 285° w odległości 11m od anteny sektorowej az. 250°	2.0	1.6	2.4	0.09	53°7'11.6" 23°7'14.9"
48	PKP na az. 285° w odległości 76m od anteny sektorowej az. 250°	2.0	1.5	2.3	0.08	53°7'12.4" 23°7'11.6"
-	GKP w odległości 347m od anteny sektorowej az. 3°	0.3-2.0	<1.0*	1.5	0.05	53°7'23.2" 23°7'16.7"
-	GKP w odległości 256m od anteny sektorowej az. 110°	0.3-2.0	<1.0*	1.5	0.05	53°7'8.8" 23°7'28.6"
-	GKP w odległości 441m od anteny sektorowej az. 250°	0.3-2.0	<1.0*	1.5	0.05	53°7'7.0" 23°6'52.9"

Sprawozdanie z badań bez pisemnej zgody laboratorium nie może być powielane inaczej niż w całości.
 Wynik przedstawione w niniejszym sprawozdaniu odnoszą się wyłącznie do badanego obiektu i do warunków i konfiguracji urządzeń w dniu wykonywania pomiarów.

Pole magnetyczne (wyznaczone na podstawie pomiaru wartości natężenia pola elektrycznego)

Nr pionu	Opis umiejscowienia pionu (punktu) pomiarowego	Wysokość pomiaru [m]	Wartość natężenia pola magnetycznego H [A/m] ¹	Wartość natężenia pola magnetycznego powiększona o niepewność pomiaru ⁴ H [A/m]	Wskaźnikowa wartość poziomu emisji pól elektromagnetycznych WM _H ³	Współrzędne geograficzne pionu (punktu) pomiarowego ²
1	DPP, parterowy budynek przemysłowy, płaszczyzna okna, ul. Octowa 1	2.0	0.004	0.006	0.09	53°7'11.6" 23°7'16.0"
2	DPP, parterowy budynek przemysłowy, płaszczyzna okna, ul. Octowa 1	2.0	0.007	0.01	0.14	53°7'12.7" 23°7'16.3"
3	DPP, parterowy budynek przemysłowy, płaszczyzna okna, ul. Octowa 1	2.0	0.007	0.01	0.14	53°7'13.1" 23°7'15.2"
4	PKP w wejściu do parterowego budynku magazynowego	2.0	0.005	0.007	0.09	53°7'12.7" 23°7'15.2"
5	PKP w narożniku parterowego budynku magazynowego (brak okien od strony anten)	2.0	0.005	0.007	0.1	53°7'10.9" 23°7'17.0"
6	DPP, parterowy budynek przemysłowy, płaszczyzna okna, ul. Octowa 1	2.0	0.004	0.006	0.08	53°7'11.3" 23°7'17.4"
7	DPP, parterowy budynek przemysłowy, płaszczyzna okna, ul. Octowa 1	2.0	0.004	0.006	0.08	53°7'10.6" 23°7'19.2"
8	DPP, parterowy budynek przemysłowy, płaszczyzna okna, ul. Octowa 1	2.0	0.006	0.009	0.12	53°7'11.3" 23°7'18.8"
9	PKP w narożniku hali produkcyjnej (brak dostępnych okien od strony anten)	2.0	0.004	0.006	0.09	53°7'12.7" 23°7'14.2"
10	DPP, parterowy budynek biurowy, płaszczyzna okna, ul. Octowa 3	2.0	0.005	0.007	0.09	53°7'12.7" 23°7'13.8"
11	GKP w odległości 8m od anteny sektorowej az. 3°	2.0	0.003	0.005	0.07	53°7'12.4" 23°7'16.0"
12	GKP w odległości 35m od anteny sektorowej az. 3°	2.0	0.006	0.008	0.11	53°7'13.1" 23°7'15.6"
13	GKP w odległości 71m od anteny sektorowej az. 3°	2.0	0.006	0.009	0.12	53°7'14.2" 23°7'16.0"
14	GKP w odległości 101m od anteny sektorowej az. 3°	2.0	0.005	0.008	0.11	53°7'15.2" 23°7'15.6"
15	GKP w odległości 10m od anteny radioliniowej az. 83°	2.0	0.004	0.006	0.08	53°7'12.0" 23°7'16.3"
16	GKP w odległości 42m od anteny radioliniowej az. 83°	2.0	0.005	0.007	0.09	53°7'12.0" 23°7'17.8"

Sprawozdanie z badań bez pisemnej zgody laboratorium nie może być powielane inaczej niż w całości.
 Wynik przedstawione w niniejszym sprawozdaniu odnoszą się wyłącznie do badanego obiektu i do warunków i konfiguracji urządzeń w dniu wykonywania pomiarów.

17	GKP w odległości 14m od anteny sektorowej az. 110°	2.0	0.005	0.007	0.09	53°7'11.6" 23°7'16.7"
18	GKP w odległości 54m od anteny sektorowej az. 110°	0.3-2.0	<0.003*	0.004	0.05	53°7'10.9" 23°7'18.5"
19	GKP w odległości 80m od anteny sektorowej az. 110°	2.0	0.004	0.006	0.09	53°7'10.9" 23°7'19.9"
20	GKP w odległości 13m od anteny radioliniowej az. 136°	2.0	0.004	0.006	0.08	53°7'11.3" 23°7'16.3"
21	GKP w odległości 45m od anteny radioliniowej az. 136°	2.0	0.005	0.008	0.1	53°7'10.6" 23°7'17.4"
22	GKP w odległości 41m od anteny radioliniowej az. 153°	2.0	0.004	0.006	0.09	53°7'10.6" 23°7'16.7"
23	GKP w odległości 7m od anteny sektorowej az. 250°	2.0	0.004	0.006	0.09	53°7'11.6" 23°7'15.2"
24	GKP w odległości 54m od anteny sektorowej az. 250°	2.0	0.004	0.006	0.08	53°7'11.3" 23°7'12.7"
25	GKP w odległości 74m od anteny sektorowej az. 250°	2.0	0.006	0.009	0.12	53°7'10.9" 23°7'11.6"
26	GKP w odległości 98m od anteny sektorowej az. 250°	2.0	0.005	0.008	0.11	53°7'10.6" 23°7'10.2"
27	GKP w odległości 17m od anteny radioliniowej az. 304°	2.0	0.004	0.006	0.09	53°7'12.4" 23°7'14.5"
28	GKP w odległości 61m od anteny radioliniowej az. 304°	0.3-2.0	<0.003*	0.004	0.05	53°7'13.1" 23°7'12.7"
29	PKP na az. 328° w odległości 44m od anteny sektorowej az. 3°	2.0	0.005	0.007	0.1	53°7'13.1" 23°7'14.2"
30	PKP na az. 343° w odległości 37m od anteny sektorowej az. 3°	2.0	0.004	0.006	0.08	53°7'13.1" 23°7'14.9"
31	PKP na az. 356° w odległości 54m od anteny sektorowej az. 3°	2.0	0.005	0.008	0.11	53°7'13.8" 23°7'15.2"
32	PKP na az. 10° w odległości 54m od anteny sektorowej az. 3°	2.0	0.005	0.008	0.1	53°7'13.8" 23°7'16.0"
33	PKP na az. 23° w odległości 45m od anteny sektorowej az. 3°	2.0	0.005	0.007	0.09	53°7'13.4" 23°7'16.3"
34	PKP na az. 38° w odległości 42m od anteny sektorowej az. 3°	2.0	0.004	0.006	0.08	53°7'13.1" 23°7'17.0"
35	PKP na az. 75° w odległości 32m od anteny sektorowej az. 110°	2.0	0.004	0.006	0.09	53°7'12.0" 23°7'17.4"
36	PKP na az. 90° w odległości 41m od anteny sektorowej az. 110°	2.0	0.005	0.007	0.1	53°7'11.6" 23°7'18.1"
37	PKP na az. 103° w odległości 45m od anteny sektorowej az. 110°	2.0	0.005	0.007	0.09	53°7'11.3" 23°7'18.1"

Sprawozdanie z badań bez pisemnej zgody laboratorium nie może być powielane inaczej niż w całości.
 Wynik przedstawione w niniejszym sprawozdaniu odnoszą się wyłącznie do badanego obiektu i do warunków i konfiguracji urządzeń w dniu wykonywania pomiarów.

38	PKP na az. 117° w odległości 59m od anteny sektorowej az. 110°	2.0	0.005	0.007	0.1	53°7'10.9" 23°7'18.8"
39	PKP na az. 130° w odległości 62m od anteny sektorowej az. 110°	2.0	0.004	0.006	0.08	53°7'10.6" 23°7'18.5"
40	PKP na az. 145° w odległości 33m od anteny sektorowej az. 110°	2.0	0.005	0.008	0.1	53°7'10.9" 23°7'17.0"
41	PKP na az. 215° w odległości 9m od anteny sektorowej az. 250°	2.0	0.004	0.006	0.08	53°7'11.3" 23°7'15.2"
42	PKP na az. 215° w odległości 64m od anteny sektorowej az. 250°	2.0	0.005	0.007	0.09	53°7'9.8" 23°7'13.4"
43	PKP na az. 230° w odległości 60m od anteny sektorowej az. 250°	2.0	0.005	0.008	0.1	53°7'10.6" 23°7'13.1"
44	PKP na az. 243° w odległości 60m od anteny sektorowej az. 250°	2.0	0.005	0.008	0.11	53°7'10.9" 23°7'12.7"
45	PKP na az. 257° w odległości 69m od anteny sektorowej az. 250°	2.0	0.006	0.008	0.11	53°7'11.3" 23°7'12.0"
46	PKP na az. 270° w odległości 68m od anteny sektorowej az. 250°	2.0	0.005	0.007	0.09	53°7'11.6" 23°7'11.6"
47	PKP na az. 285° w odległości 11m od anteny sektorowej az. 250°	2.0	0.004	0.006	0.09	53°7'11.6" 23°7'14.9"
48	PKP na az. 285° w odległości 76m od anteny sektorowej az. 250°	2.0	0.004	0.006	0.08	53°7'12.4" 23°7'11.6"
-	GKP w odległości 347m od anteny sektorowej az. 3°	0.3-2.0	<0.003*	0.004	0.05	53°7'23.2" 23°7'16.7"
-	GKP w odległości 256m od anteny sektorowej az. 110°	0.3-2.0	<0.003*	0.004	0.05	53°7'8.8" 23°7'28.6"
-	GKP w odległości 441m od anteny sektorowej az. 250°	0.3-2.0	<0.003*	0.004	0.05	53°7'7.0" 23°6'52.9"

GKP – Główny Kierunek Pomiarowy

DPP – Dodatkowy Pion Pomiarowy

PKP – Pomocniczy Kierunek Pomiarowy

¹ wyniki oznaczone * są wynikami poniżej czułości zestawu pomiarowego i są wynikami spoza zakresu akredytacji. Do obliczenia wyniku skorygowanego przyjęto wartość skorelowaną z rzeczywistym wynikiem pomiaru - dolną granicę akredytowanego zakresu pomiarowego metody

² współrzędne geograficzne pozyskane metodą pomiaru bezpośredniego

³ do wyznaczenia wartości wskaźnikowej $W_{M\pm}$ przyjęto na podstawie uzgodnień z klientem oraz rozpoznania źródeł, jako wartości dopuszczalne pola elektrycznego i magnetycznego odpowiednio 28 V/m i 0,073 A/m.

⁴ do wyznaczenia niepewności dla wyników poniżej czułości zestawu pomiarowego, przyjęto niepewność dla minimalnej wartości z zakresu pomiarowego.

⁵ maksymalna wartość chwilowa

Niepewność oszacowano zgodnie z dokumentem P-03 „Procedura nadzoru nad wyposażeniem” w postaci niepewności rozszerzonej wynikającej z niepewności standardowej pomnożonej przez współczynnik rozszerzenia $k=2$.

Całkowita szacowana niepewność rozszerzona składowej E wynosi odpowiednio: 50% dla częstotliwości do 40 GHz

Umieszczenie pionów (punktów) pomiarowych przedstawiono w załączniku nr 2 do niniejszego sprawozdania.

Sprawozdanie z badań bez pisemnej zgody laboratorium nie może być powielane inaczej niż w całości.
 Wynik przedstawione w niniejszym sprawozdaniu odnoszą się wyłącznie do badanego obiektu i do warunków i konfiguracji urządzeń w dniu wykonywania pomiarów.

10. Omówienie wyników pomiarów

W związku z tym, że żadna z wartości zmierzonych, udokumentowanych w tabelach w pkt. 9, uzyskanych w skutek zastosowania pomiaru szerokopasmowego, powiększonego o rozszerzoną niepewność pomiaru U dla współczynnika rozszerzenia $k = 2$ nie przekroczyła 70% najniższej dopuszczalnej wartości składowej elektrycznej lub magnetycznej pola dla objętych pomiarami zakresów częstotliwości, nie uwzględnia się poprawek pomiarowych.

W wyniku zastosowania sposobu sprawdzenia dotrzymania dopuszczalnych poziomów pól elektromagnetycznych w środowisku, zgodnie pkt 25 ppkt 1 Rozporządzenia Ministra Klimatu z dnia 17 lutego 2020 r. (Dz. U. 2022, poz. 2630), w związku z tym, że żadna z wartości wskaźnikowych, udokumentowanych w tabelach w pkt. 9 nie przekracza wartości 1, stwierdza się, że w miejscach, w których wykonano pomiary w otoczeniu instalacji radiokomunikacyjnej 24005 (96006N!) WBI_BIALYSTOK_OCTOWA1, dopuszczalne poziomy pól elektromagnetycznych w środowisku należy uznać za dotrzymane.

11. Podstawa prawna

- 1) Ustawa z dnia 27 kwietnia 2001 r. Prawo ochrony środowiska (Dz.U. 2022 poz. 2556)
- 2) Rozporządzenie Ministra Zdrowia z dnia 17 grudnia 2019 r. w sprawie dopuszczalnych poziomów pól elektromagnetycznych w środowisku (Dz. U. 2019, poz. 2448)
- 3) Rozporządzenie Ministra Klimatu z dnia 17 lutego 2020 r. w sprawie sposobów sprawdzania dotrzymania dopuszczalnych poziomów pól elektromagnetycznych w środowisku (Dz. U. 2022, poz. 2630),
- 4) Akredytacja nr AB 419 wydana przez Polskie Centrum Akredytacji (wydanie 22, z dnia 9 stycznia 2024 r.)

12. Spis załączników

- Załącznik 1. Lokalizacja obiektu badań
- Załącznik 2. Usytuowanie pionów (punktów) pomiarowych
- Załącznik 3. Dokumentacja fotograficzna obiektu badań

13. Data wydania i autoryzowania sprawozdania

Obliczenia i sprawozdanie wykonał :

Sprawozdanie autoryzował:

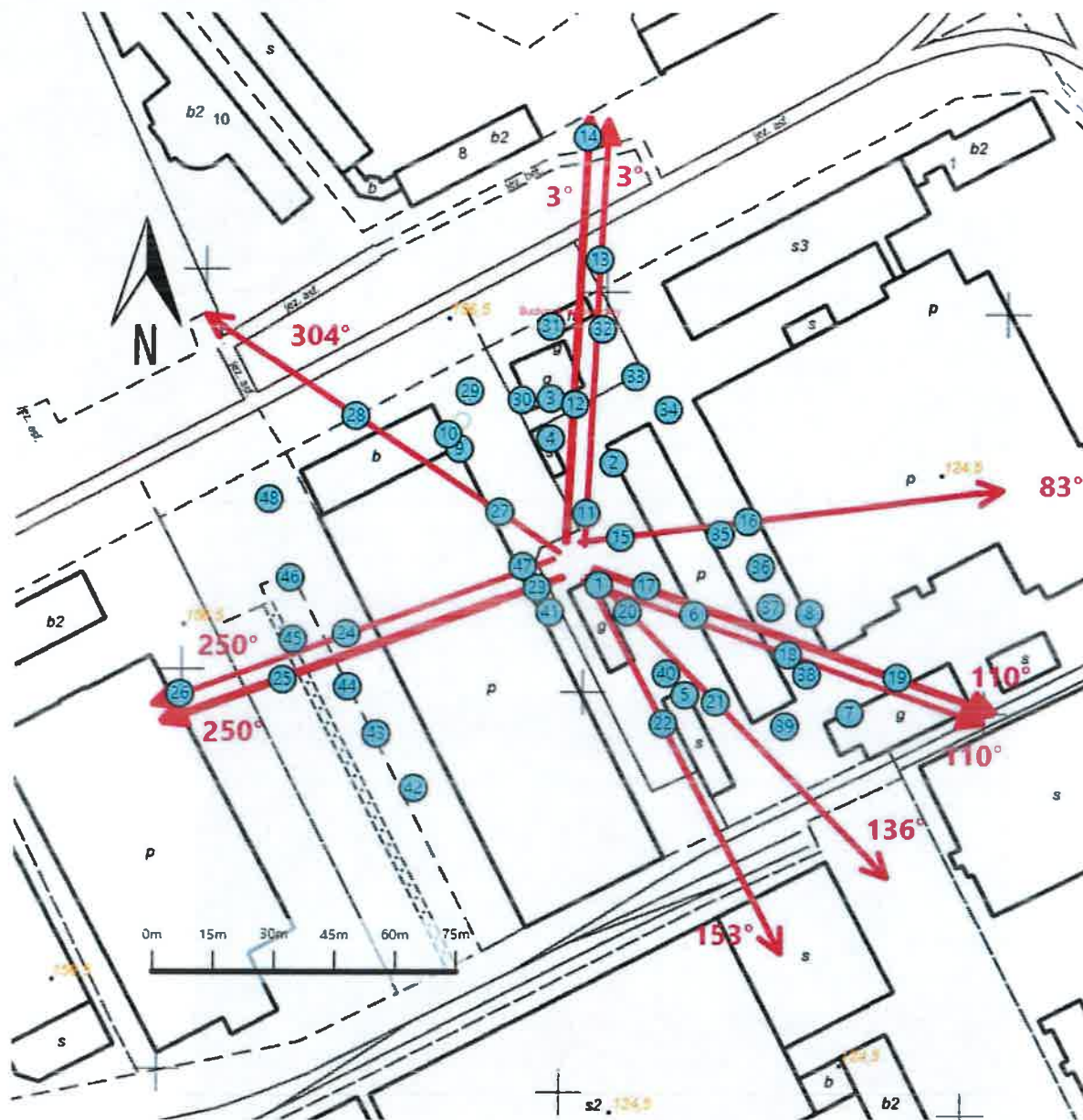


Koniec sprawozdania

Sprawozdanie z badań bez pisemnej zgody laboratorium nie może być powielane inaczej niż w całości.
Wynik przedstawione w niniejszym sprawozdaniu odnoszą się wyłącznie do badanego obiektu i do warunków i konfiguracji urządzeń w dniu wykonywania pomiarów.



Załącznik nr 1	<p>Instalacja radiokomunikacyjna T-Mobile Polska S.A. 24005 (96006N!) WBI_BIALYSTOK_OCTOWA1</p> <p>Lokalizacja instalacji radiokomunikacyjnej</p>
----------------	---



Załącznik nr 2	<p style="text-align: center;">Instalacja radiokomunikacyjna T-Mobile Polska S.A. WBI_BIALYSTOK_OCTOWA1 (96006N!) Usytuowanie pionów pomiarowych w otoczeniu instalacji radiokomunikacyjnej</p>
Legenda:	<p style="text-align: center;">  Brak dostępu  Pion pomiarowy  Kierunek oddziaływania anten sektorowych  Kierunek oddziaływania anten radioliniowych </p>



Załącznik nr 3

**Instalacja radiokomunikacyjna T-Mobile Polska S.A.
24005 (96006N!) WBI_BIALYSTOK_OCTOWA1**

Dokumentacja fotograficzna